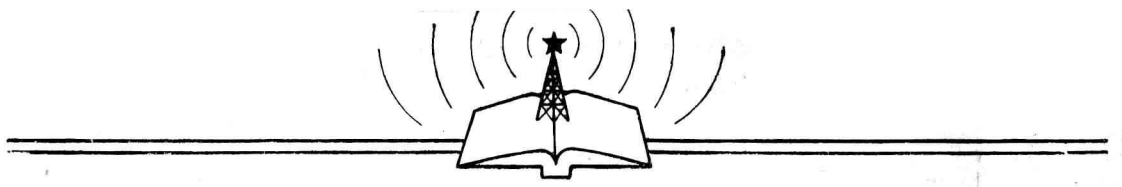


# 电磁场基础

吴万春 赵玉书 编

西北电讯工程学院

1974



# 电磁场基础

吴万春 赵玉书 编

西北电讯工程学院

1974.6.

## 列 宁 语 录

世界是运动着的物质，力学反映这一物质的缓慢运动的规律，电磁理论反映这一物质的迅速运动的规律。

## 毛 主 席 语 录

我们的教育方针，应该使受教育者在德育、智育、体育几方面都得到发展，成为有社会主义觉悟的有文化的劳动者。

教育必须为无产阶级政治服务，必须同生产劳动相结合。

无产阶级认识世界的目的，只是为了改造世界，此外再无别的目的。

理论的基础是实践，又转过来为实践服务。

必须提倡思索，学会分析事物的方法，养成分析的习惯。

# 主要符号表

$\vec{A}$	磁矢位	$\vec{K}$	动量矩
A	(1) 常数 (2) 面积 (3) 功	K	(1) 比例常数 (2) 波数
a	一般常数	$\tilde{K}$	复波数
$\vec{B}$	磁感应强度矢量	k	常数
B	常数	L	(1) 自感 (2) 长度
b	一般常数	l	长度
C	(1) 常数 (2) 电容	$\vec{M}$	磁化强度
c	真空中的光速	N	(1) 电力线数目 (2) 分子磁矩数目 (3) 去磁系数
$\vec{D}$	电感应强度矢量	$\vec{n}$	法线单位矢
$\vec{E}$	电场强度矢量	n	(1) 线圈匝数 (2) 单位体积中分子磁矩的数目 (3) 单位体积中电子数目 (4) 折射率
$E_i$	入射波电场	$\vec{P}$	极化强度矢量
$E_r$	反射波电场	$\vec{P}_m$	磁化强度矢量
$E_t$	(1) 电场切线分量 (2) 透射波电场	P	功率
e	电动势	$\vec{p}$	电矩
$\vec{F}$	力的矢量	$\vec{p}_m$	磁矩
f	(1) 函数 (2) 频率	p	功率密度
$\vec{H}$	磁场强度矢量	Q, q	电荷
$H_i$	入射波磁场	$Q_i, q_i$	束缚电荷
$H_r$	反射波磁场	R	(1) 电阻 (2) 距离
$H_t$	(1) 磁场切线分量 (2) 透射波磁场	$R_s$	表面电阻
h	高度	r	距离
I	电流	$\vec{S}$	坡印亭矢量
$I_a$	分子电流	$S_{av}$	坡印亭矢量的平均值
i	电流强度的瞬时值	S	面积
$i_c$	传导电流的瞬时值	T	周期
$i_d$	位移电流的瞬时值	$\vec{t}$	切线单位矢
$\vec{J}$	电流密度矢量		
$\vec{J}_s$	面电流密度矢量		
$\vec{J}_c$	传导电流密度矢量		
$\vec{J}_d$	位移电流密度矢量		
j	$\sqrt{-1}$		

$t$	时间	$\theta$	角度
$U$	电位差、电压	$\theta_c$	临界角
$u$	电压的瞬时值	$\theta_p$	布鲁斯特角
$V$	体积	$\lambda$	波长
$v$	波速	$\lambda_0$	自由空间波长
$v_p$	相速	$\mu$	导磁率
$W$	能量	$\mu_0$	真空中的导磁率
$w$	能量密度	$\mu_r$	相对导磁率
$w_e$	电能密度	$\rho$	(1) 电荷密度 (2) 电阻率 (3) 楞园率
$w_m$	磁能密度	$\rho_s$	面电荷密度
$X_C$	容抗	$\rho_l$	线电荷密度
$X_s$	表面电抗	$\sigma$	电导率
$Z$	阻抗	$\varphi$	(1) 电位 (2) 磁通 (3) 磁标位
$Z_L$	负载阻抗	$\varphi_m$	磁位
$Z_s$	表面阻抗	$\chi$	相对电极化率
$\alpha$	(1) 相位常数 (2) 极化角	$\chi_m$	相对磁化率
$\beta$	衰减常数	$\omega$	角频率
$\Gamma$	反射系数	$x, y, z$	直角坐标
$\Delta$	穿透深度	$\vec{i}, \vec{j}, \vec{k}$	直角坐标系各坐标方向的单位矢
$\delta$	损耗角	$r, \theta, z$	柱面坐标
$\epsilon$	介电常数	$\vec{r}^0, \vec{\theta}^0, \vec{k}$	柱面坐标系各坐标方向的单位矢
$\epsilon_0$	真空的介电常数	$r, \theta, \Psi$	球面坐标
$\epsilon_r$	相对介电常数	$\vec{r}^0, \vec{\theta}^0, \vec{\Psi}^0$	球面坐标系各坐标方向的单位矢
$\epsilon'$	复介电常数		
$\eta$	波阻抗		
$\eta_0$	空气的波阻抗		
$\tilde{\eta}$	复数波阻抗		

# 目 录

## 主要符号表

前 言 .....	1
<b>第一章 静电场</b> .....	2
§ 1.1 电场和电场强度 .....	2
§ 1.2 电力线与高斯定理 .....	7
§ 1.3 电位和电位梯度 .....	13
§ 1.4 介质的极化 .....	18
§ 1.5 介质的电性质 .....	22
§ 1.6 静电场的完整方程组 .....	29
§ 1.7 用分离变量法解静电场问题 .....	33
§ 1.8 静电场的解的唯一性定理 .....	40
§ 1.9 镜象法 .....	41
<b>第二章 恒定电流的磁场</b> .....	45
§ 2.1 磁场和磁感应强度 .....	45
§ 2.2 磁感应线和磁通连续性原理 .....	51
§ 2.3 真空中的全电流定律 .....	53
§ 2.4 磁介质的磁化 .....	57
§ 2.5 恒定电流磁场的完整方程组 .....	63
§ 2.6 恒定电流磁场与静电场的对比 .....	67
§ 2.7 铁磁物质的性质 .....	71
<b>第三章 交变电磁场</b> .....	79
§ 3.1 电磁感应定律 .....	79
§ 3.2 位移电流定律 .....	82
§ 3.3 麦克斯韦方程组 .....	86
§ 3.4 边界条件 .....	88
§ 3.5 电磁场的波动性质 .....	93
§ 3.6 交变电磁场的矢位和标位 .....	97

§ 3.7 电磁能流	103
§ 3.8 复数形式的麦克斯韦方程和坡印亭矢量	108
<b>第四章 均匀平面电磁波</b>	<b>115</b>
§ 4.1 均匀理想介质中的均匀平面电磁波	116
§ 4.2 均匀有耗媒质中的均匀平面电磁波	125
§ 4.3 导体中的均匀平面电磁波	128
§ 4.4 均匀平面波的极化	134
§ 4.5 均匀平面波向理想导体表面垂直入射——驻波	140
§ 4.6 均匀平面波向理想介质表面垂直入射	145
§ 4.7 均匀平面波向多层介质垂直入射的反射问题	150
§ 4.8 均匀平面电磁波向理想介质表面斜入射	153
§ 4.9 均匀平面电磁波向理想导体表面斜入射	158
<b>附录 I 矢量分析的公式和定理</b>	<b>162</b>
<b>附录 II 用直接代入法证明标位</b> $\varphi = \frac{1}{4\pi\epsilon} \int_V \frac{\rho(t - \frac{r}{v})}{r} dV$ <b>是达朗伯方程</b> $\nabla^2 \varphi - \frac{1}{v^2} \frac{\partial^2 \varphi}{\partial t^2} = -\frac{\rho}{\epsilon}$ <b>的解</b>	<b>164</b>
<b>附录 III 椭圆极化的极化角<math>\alpha</math> 和椭圆率公式的推导</b>	<b>166</b>

## 前　　言

我们已经知道，两个带电物体虽互不接触，却能相互吸引或排斥，这是因为，带电物体能够激发一种物质弥漫于空间，通过这种物质的交换使两个带电物体发生相互作用。这种弥漫于空间的物质称为电场。与此相似，带磁性物体也能激发一种弥漫于空间的物质，称为磁场。电场和磁场是紧密联系着的，并且在运动过程中可以相互转化，它们具有能量和动量，同时也具有质量，因此将它们统称之为电磁场。

本书的任务就是讨论电磁场的基本运动规律，它是英国物理学家麦克斯韦建立的，是反映宏观电磁场的理论，是我们今后学习雷达天线和微波工程的理论基础。本书先从比较简单的静电场和恒定电流磁场开始，依次讨论交变电磁场、电磁波、电磁波的辐射与传播，以及电磁波的反射和折射。

电磁场理论是经过比较长期的实践验证和理论概括而成的一门科学，它描述的电磁现象比较复杂，使用的数学工具较多。因此，在学习时必须明确了解其基本概念，牢牢掌握其基本规律。对于数学推导，必须理解它所揭示的新的概念，以及由它所得到的定量结论。只有这样，才能学得深透，才能为后续课程打好理论基础。

# 第一章 静电场

不随时间变化的电场称为静电场。绝对不随时间变化的静电场是没有的，只不过是在宏观上相对不变而已。例如有些良好的绝缘体，其漏电很小，可以认为在较短的时间内其上所带的电荷不随时间变化，因而这种不变的电荷所激发的电场，就可以看成是静电场。

静电场是交变场的特例，是其极限情况，研究它对于理解交变电磁场是大有帮助的。为此，我们从静电场开始。毛主席说，“人们总是首先认识了许多不同事物的特殊的本质，然后才有可能更进一步地进行概括工作，认识诸事物的共同本质。”我们分别研究了电场和磁场后，再去研究交变电磁场。

## § 1.1 电场和电场强度

对观察者相对静止的电荷称为静电荷，简称电荷，它所激发的电场称为静电场。在通常的情况下，人的感觉器官不能直接感觉到电场的存在，但可以通过带电体的受力来检验它。为此，我们先讨论带电体间的相互作用力，然后再讨论分布电荷以及与其相关的电场。

### 一、库仑定律

库仑于1785年由实验结果总结出：“在真空中，两个点电荷间的相互作用力，与两个点电荷的电量之积成正比，与其间距离平方成反比，力的方向在两点电荷的连线上，同性相斥，异性相吸”。这个规律通常称为库仑定律，其数学表示式为

$$\vec{F}_{12} = \frac{q_1 q_2 \vec{r}_{12}}{4\pi\epsilon_0 r^3} \quad (1.1-1)$$

式中， $q_1$  和  $q_2$  为两个点电荷的电量，单位为库仑。 $\vec{r}_{12}$  是由  $q_1$  到  $q_2$  的矢径， $r = |\vec{r}_{12}|$  是其间的距离，单位为[米]。 $\epsilon_0$  是个比例常数，叫做真空的介电常数，其值为  $\frac{1}{36\pi} \times 10^{-9} = 8.85 \times 10^{-12}$  [法/米]。

图 1.1-1 示出矢径  $\vec{r}_{12}$  和  $\vec{F}_{12}$  与  $\vec{F}_{21}$  的方向。由图可见， $\vec{F}_{12}$  是作用在  $q_2$  上的力， $\vec{F}_{21}$  是作用在  $q_1$  上的力，两者大小相等方向相反。 $\vec{F}_{12}$  和  $\vec{F}_{21}$  的指向与  $q_1$  和  $q_2$  的符号有关，当  $q_1$  和  $q_2$  的符号相同时（同性电荷），两者的指向如图 1.1-1 所示，是为排斥力；当  $q_1$  和  $q_2$  的符号相反时（异性电荷），两者的指向与图 1.1-1 所示的相反，是为吸引力。所有这些概念都在 (1.1-1) 式中表示出来。

如果空间有  $n$  个点电荷，它们的电量分别为  $q_1, q_2, \dots, q_n$ ，它们间的矢径分别为  $\vec{r}_{21}, \vec{r}_{31}, \dots, \vec{r}_{n1}$ ，则  $q_1$  所受的作用力是其余各电荷分别作用在  $q_1$  上的作用力之和，即

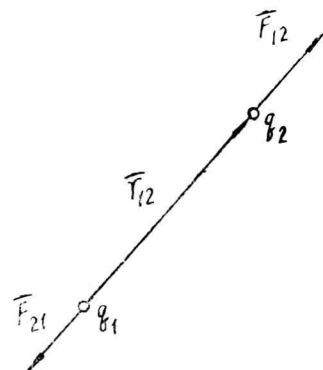


图 1.1-1 两个点电荷间的相互作用力

$$\vec{F}_1 = \frac{q_1 q_2 \vec{R}_{21}}{4\pi\epsilon_0 R_{21}^3} + \frac{q_1 q_3 \vec{R}_{31}}{4\pi\epsilon_0 R_{31}^3} + \dots + \frac{q_1 q_n \vec{R}_{n1}}{4\pi\epsilon_0 R_{n1}^3} \quad (1.1-2)$$

应该指出，(1.1-2)式不是(1.1-1)式的直接推论，而是一个新的实验定律，称为迭加定律，这是电磁场理论的十分重要的根本定律。

[例题1] 如图1.1-2，在每边长1米的等边三角形的顶点上分别放有点电荷 $q_1$ ， $q_2$ ， $q_3$ ，已知 $q_1 = q_2 = 10^{-8}$ 库仑， $q_3 = -10^{-12}$ 库仑，求 $q_3$ 所受的力。

[解] 由图1.1-2知：

$$\vec{R}_{13} = \vec{i} 0.5 + \vec{j} 0.866$$

$$\vec{R}_{23} = -\vec{i} 0.5 + \vec{j} 0.866$$

因此， $q_1$ 和 $q_2$ 对 $q_3$ 的作用力分别是

$$\begin{aligned} \vec{F}_{13} &= \frac{q_1 q_3 \vec{R}_{13}}{4\pi\epsilon_0 R_{13}^3} \\ &= -9 \times 10^{-9} (\vec{i} 0.5 + \vec{j} 0.866) \\ &= -\vec{i} 4.5 \times 10^{-9} - \vec{j} 7.79 \times 10^{-9} \end{aligned}$$

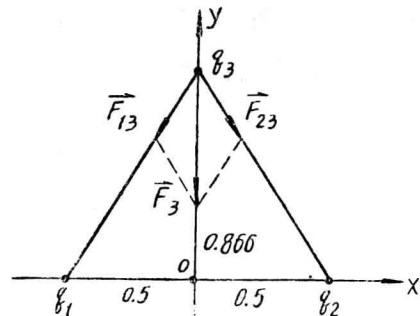


图1.1-2 例题1用图

(牛顿)

$$\begin{aligned} \vec{F}_{23} &= \frac{q_2 q_3 \vec{R}_{23}}{4\pi\epsilon_0 R_{23}^3} = -9 \times 10^{-9} (-\vec{i} 0.5 + \vec{j} 0.866) \\ &= \vec{i} 4.5 \times 10^{-9} - \vec{j} 7.79 \times 10^{-9} \quad (\text{牛顿}) \end{aligned}$$

故 $q_3$ 所受的力是

$$\begin{aligned} \vec{F}_3 &= \vec{F}_{13} + \vec{F}_{23} = -\vec{j} (7.79 \times 10^{-9} + 7.79 \times 10^{-9}) \\ &= -\vec{j} 1.56 \times 10^{-8} \quad (\text{牛顿}) \end{aligned}$$

## 二、电场强度

既然电场这种物质可以通过带电物体间的相互作用来检验它，当然也可以通过带电物体间的相互作用来量度它。量度电场强弱的物理量叫做电场强度，定义为单位正电荷所受的作用力。设有一个试探点电荷 $q_0$ 放在电场中间的某一点上，其所受的作用力为 $\vec{F}$ ，则电场中该点的电场强度 $\vec{E}$ 为

$$\vec{E} = \vec{F}/q_0 \quad [\text{伏/米}] \quad (1.1-3)$$

电场强度 $\vec{E}$ 是个矢量，也是个位置函数，它的大小表示该点电场的分布密度，它的方向就是该点正电荷受力的方向。电场强度的单位是[伏/米]。

对于空间只有一个点电荷 $q$ 来说，其所激发的电场的电场强度是

$$\vec{E} = \frac{q \vec{r}}{4\pi\epsilon_0 r^3} \quad (1.1-4)$$

式中  $\vec{r}$  是点电荷  $q$  到欲求电场强度的点（观察点）的矢径， $r$  为其间距离。

如果空间有几个点电荷，它们的电量分别为  $q_1, q_2, \dots, q_n$ ，它们到观察点的矢径分别是  $\vec{r}_1, \vec{r}_2, \dots, \vec{r}_n$ ，则这些点电荷在观察点所激发的电场强度是

$$\vec{E} = \frac{q_1 \vec{r}_1}{4\pi\epsilon_0 r_1^3} + \frac{q_2 \vec{r}_2}{4\pi\epsilon_0 r_2^3} + \dots + \frac{q_n \vec{r}_n}{4\pi\epsilon_0 r_n^3} \quad (1.1-5)$$

必须注意，电场强度是表示电场强弱的物理量，它丝毫不依赖于试探电荷的大小和正负。例如，在电场中某点放一电荷  $q'$ ，若此点的电场强度为  $\vec{E}$ ，则此电荷  $q'$  的受力将是  $q' \vec{E}$ ，因此不能把它们混淆起来。

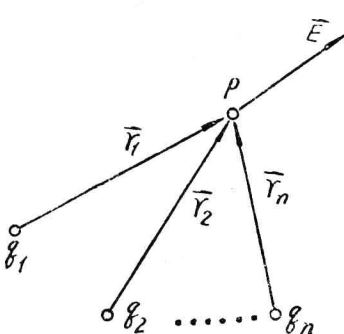


图 1.1-3 诸点电荷的电场

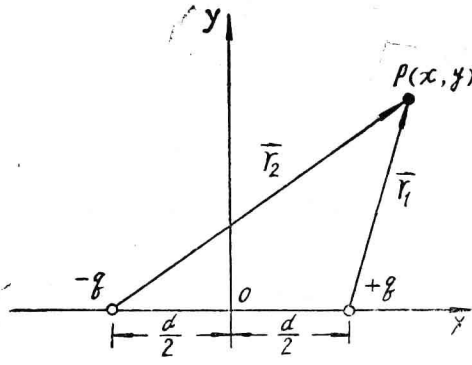


图 1.1-4 例题 2 用图

[例题 2] 如图 1.1-4 所示，两个带有相等相反电量的点电荷  $q$  和  $-q$ ，它们间相距为  $d$ ，求空间任一点  $P$  的电场强度。

[解] 由图 1.1-4 知，

$$\vec{r}_1 = \vec{i} \left( x - \frac{d}{2} \right) + \vec{j} y$$

$$\vec{r}_2 = \vec{i} \left( x + \frac{d}{2} \right) + \vec{j} y$$

以及

$$r_1 = \sqrt{\left( x - \frac{d}{2} \right)^2 + y^2}$$

$$r_2 = \sqrt{\left( x + \frac{d}{2} \right)^2 + y^2}$$

于是

$$\begin{aligned} \vec{E} &= \frac{q \vec{r}_1}{4\pi\epsilon_0 r_1^3} - \frac{q \vec{r}_2}{4\pi\epsilon_0 r_2^3} \\ &= \frac{q}{4\pi\epsilon_0 r_1^3} \left[ \vec{i} \left( x - \frac{d}{2} \right) + \vec{j} y \right] - \frac{q}{4\pi\epsilon_0 r_2^3} \left[ \vec{i} \left( x + \frac{d}{2} \right) + \vec{j} y \right] \end{aligned}$$

$$= \frac{q}{4\pi\epsilon_0} \left[ \vec{i} \left( \frac{x - \frac{d}{2}}{r_1^3} - \frac{x + \frac{d}{2}}{r_2^3} \right) + \vec{j} \left( \frac{y}{r_1^3} - \frac{y}{r_2^3} \right) \right]$$

### 三、分布电荷及其电场

在讨论宏观静电现象时，带电体总是具有一定的尺寸。前面所谓的点电荷，只不过其所占据的体积尺寸，比所研究的距离要小得多罢了。对于占据一定尺寸的电荷，我们可以认为它连续地分布在带电物体之内或其表面上，称之为分布电荷。研究电荷分布情况时，首先须了解电荷是大量带电粒子的总合，因而分布是不连续的。但在研究其宏观性质时，由于宏观仪器所能观察到的最小电荷，至少也包含亿万个带电粒子，观察结果总是这些大量带电粒子所产生的平均效果。因此我们可以完全不考虑带电粒子的结构，而用电荷连续地、不间断地分布在带电区域内这一概念来代替，这样可以大大地简化我们所研究的问题，并且能很好地反映客观实在，不致引起很大误差。

采用电荷连续分布的概念后，如果电荷分布在一个体积  $V$  内，则称之为体电荷；如果电荷分布在一个表面  $S$  上，则称之为面电荷；如果电荷分布在一根线  $l$  上，则称之为线电荷。图1.1-5示出电荷这三种分布情况。

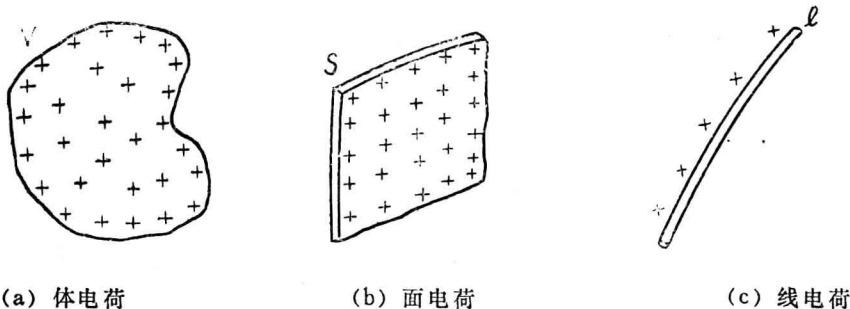


图 1.1-5 分布电荷的三种形式

对于带有分布电荷的物体，在研究其激发电场时，除了要知道其所带的总电荷外，还需要知道此电荷分布的疏密程度，即电荷密度。设电荷分布在体积  $V$  中，若在此体积内任取一个小体积元  $dV$ ，其中所带的电量为  $dq$ ，则此分布电荷的体密度  $\rho$  为

$$\rho = \frac{dq}{dV} [\text{库}/\text{米}^3] \quad (1.1-6)$$

体电荷密度  $\rho$  是空间的点函数。如果把  $dq$  看成点电荷，则其在观察点激发的电场强度是

$$d\vec{E} = \frac{dq \vec{r}}{4\pi\epsilon_0 r^3} = \frac{\rho dV \vec{r}}{4\pi\epsilon_0 r^3}$$

利用迭加定律，则分布在体积  $V$  内所有电荷在观察点激发的电场强度是

$$\vec{E} = \int_V \frac{\rho \vec{r}}{4\pi\epsilon_0 r^3} dV \quad (1.1-7)$$

式中  $\vec{r}$  是体积元  $dV$  到观察点的矢径。

如果电荷分布在表面  $S$  的薄层上，在表面  $S$  上任取一面积元  $dS$ ，其上所带的电量为  $dq$ ，则此面电荷密度  $\rho_s$  是

$$\rho_s = \frac{dq}{dS} \quad [\text{库/米}^2] \quad (1.1-8)$$

若把  $dq = \rho_s dS$  看成点电荷，则其在观察点激发的电场强度是

$$d\vec{E} = \frac{dq \vec{r}}{4\pi\epsilon_0 r^3} = \frac{\rho_s dS \vec{r}}{4\pi\epsilon_0 r^3}$$

利用迭加定律，可得整个面电荷在观察点所激发的电场强度是

$$\vec{E} = \int_S \frac{\rho_s dS \vec{r}}{4\pi\epsilon_0 r^3} \quad (1.1-9)$$

设电荷分布在很细的线  $l$  上，若在线上任取一长度元  $dl$ ，其上所带的电量为  $dq$ ，则此线电荷密度  $\rho_l$  是

$$\rho_l = \frac{dq}{dl} \quad [\text{库/米}] \quad (1.1-10)$$

如果把  $dq = \rho_l dl$  看成点电荷，则其在观察点上激发的电场强度是

$$d\vec{E} = \frac{dq \vec{r}}{4\pi\epsilon_0 r^3} = \frac{\rho_l dl \vec{r}}{4\pi\epsilon_0 r^3}$$

于是整个线电荷激发的电场强度是

$$\vec{E} = \int_l \frac{\rho_l dl \vec{r}}{4\pi\epsilon_0 r^3} \quad (1.1-11)$$

[例题 3] 设有一电荷均匀分布于无限长线上，线电荷密度为  $\rho_l$ ，如图 1.1-6 所示。试求距线为  $d$  的观察点上的电场强度。

[解] 首先取坐标如图 1.1-6 所示，长线和  $y$  轴重合， $P$  点在  $x$  轴上，距原点为  $d$ 。然后在长线上任取一长度元  $dl = dy$ ，其上电量为  $dq = \rho_l dy$ ，于是此线电荷激发的电场强度为

$$\vec{E} = \int_l \frac{\rho_l dy \vec{r}}{4\pi\epsilon_0 r^3}$$

由于  $\vec{r} = \vec{i} d - \vec{j} y$ ， $r = \sqrt{d^2 + y^2}$ ，故得

$$\vec{E} = \int_{-\infty}^{\infty} \frac{\rho_l dy}{4\pi\epsilon_0 (d^2 + y^2)^{3/2}} (\vec{i} d - \vec{j} y)$$

$$= \vec{i} \frac{\rho_l d}{4\pi\epsilon_0} \int_{-\infty}^{\infty} \frac{dy}{(d^2 + y^2)^{3/2}}$$

$$- \vec{j} \frac{\rho_l}{4\pi\epsilon_0} \int_{-\infty}^{\infty} \frac{y dy}{(d^2 + y^2)^{3/2}}$$

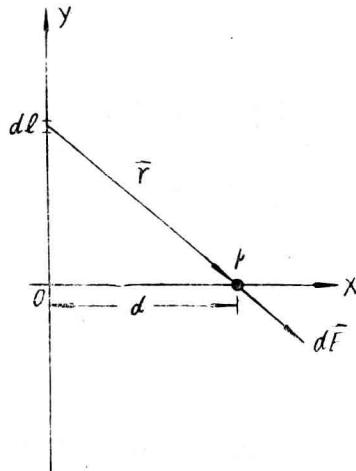


图 1.1-6 例题 3 用图

上式右边第一项积分可写为

$$\int_{-\infty}^{\infty} \frac{dy}{(d^2 + y^2)^{3/2}} = 2 \int_0^{\infty} \frac{dy}{(d^2 + y^2)^{3/2}} = \frac{2y}{d^2 \sqrt{d^2 + y^2}} \Big|_0^{\infty} = \frac{2}{d^2}$$

右边第二项积分可写为

$$\begin{aligned} \int_{-\infty}^{\infty} \frac{y dy}{(d^2 + y^2)^{3/2}} &= \int_0^{\infty} \frac{y dy}{(d^2 + y^2)^{3/2}} + \int_{-\infty}^0 \frac{y dy}{(d^2 + y^2)^{3/2}} \\ &= \int_0^{\infty} \frac{y dy}{(d^2 + y^2)^{3/2}} - \int_0^{\infty} \frac{y dy}{(d^2 + y^2)^{3/2}} = 0 \end{aligned}$$

这是因为上式积分中的被积函数是奇函数，故积分结果为零。最后得出无限长线电荷的电场强度是

$$\vec{E} = \vec{i} \frac{\rho_1 d}{4\pi\epsilon_0} \cdot \frac{2}{d^2} = \vec{i} \frac{\rho_1}{2\pi\epsilon_0 d}$$

若选圆柱面坐标并令无限长线电荷在圆柱面坐标轴上，于是其电场强度可改写为

$$\vec{E} = \vec{r}^\circ \frac{\rho_1}{2\pi\epsilon_0 r} = \frac{\rho_1 \vec{r}}{2\pi\epsilon_0 r^2}$$

式中  $\vec{r}$  是圆柱坐标的辐射矢径， $\vec{r}^\circ$  是其单位矢量， $r$  是其长度。

## § 1.2 电力线与高斯定理

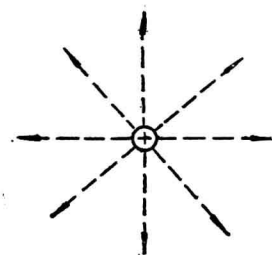
电场强度是电场中各观察点的位置函数，它能很确切地表示各点的电场的强弱和方向，但它不能很直观地说明整个电场的分布情况，所以常采用假想的电力线来形象地描绘电场分布。引用电力线后，再把电力线数目与激发电场的电荷联系起来，从而得出静电场的一个基本性质——高斯定理。下面我们分别讨论之。

### 一、电力线

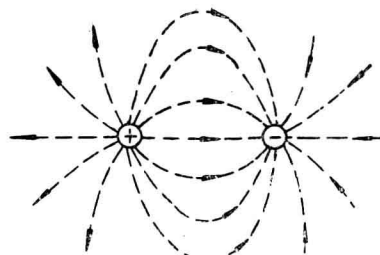
在电场中各点沿电场强度方向画一些小箭头，并把相邻的方向几乎一致的小箭头连接成连续的曲线，叫做电力线。所以电力线上任一点的切线方向表示该点的电场强度方向。为了能用电力线的疏密程度来表示电场的强弱，我们规定以下的绘制电力线根数的方法：在电场中某一点取一面积元  $dS$ ，并使其与该点的电场强度方向垂直，如果该点的电场强度为  $\vec{E}$ ，则穿过  $dS$  画  $dN$  根电力线，并令

$$|\vec{E}| = \frac{dN}{dS} \quad (1.2-1)$$

这就是说，电场中某点的电力线密度等于该点电场强度的数值，因此电场强的地方电力线密，电场弱的地方电力线疏。根据以上法则画出电场的电力线图，就可以一目了然地看出电场的分布情况。图 1.2-1 示出一个孤立点电荷和两个等值异性点电荷的电力线分布图。



(a) 点电荷的电场分布



(b) 两个等值异性点电荷的电场分布

图 1.2-1 电力线图

由电力线定义和图 1.2-1 可知，电力线有如下特点：

- (1) 电力线是一族从正电荷出发而终止于负电荷的非闭合曲线。
- (2) 在无电荷区域内电力线互不相交，因为在一点上电场强度不能同时有两个方向。上述第一个特点说明电荷激发电场；第二个特点说明电场强度是位置的单值函数。

电力线可以根据电场强度的函数关系画出来。例如孤立点电荷的电场强度的关系式是

$$\vec{E} = \frac{q\vec{r}}{4\pi\epsilon_0 r^3}$$

由于  $\vec{E}$  的方向就是  $\vec{r}$  方向，因而电力线就是以点电荷  $q$  为中心向空间发散的径向辐射线 [如图 1.2-1(a) ]。如果电场的函数复杂，电力线的分布情况可以由测量方法确定出来。

## 二、电场强度通量

在电场中任取一面积  $S$ ，则穿过此面积的电力线总数，称为该面积的电场强度通量，简称为电通量，用  $N$  表示之。在前面我们定义电力线时，已经引出了垂直穿过面积元  $dS$  的电力线数目是

$$dN = EdS$$

若电力线与面积元  $dS$  不垂直，可以将  $dS$  投影到与电力线垂直方向（如图 1.2-2），从而得出穿过  $dS$  的电通量是

$$dN = EdS \cos\theta = \vec{E} \cdot \vec{dS}$$

于是穿过面积  $S$  的电通量是

$$N = \int_S \vec{E} \cdot \vec{dS} \quad (1.2-2)$$

式中  $\theta$  为面积元  $dS$  与该点电场强度  $\vec{E}$  间的夹角。

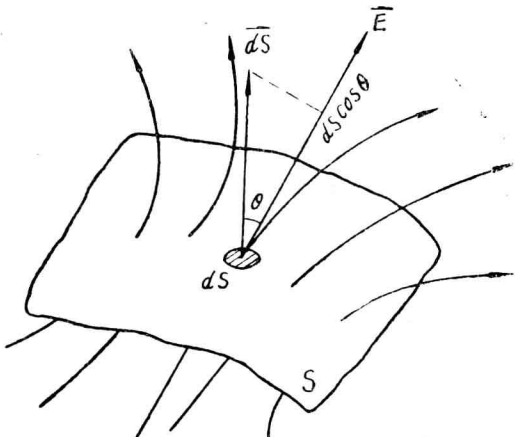


图 1.2-2 计算电通量用图

### 三、真空中的高斯定理

既然电荷在它的周围空间激发电场，而我们又用电力线的密度来表示电场强度，故电通量必然与激发电场的电荷有一定的关系。现在我们来找出这个关系——高斯定理。

为了明确了解高斯定理的内容，我们首先看看一个特例。设空间只有一个点电荷  $q$ ，我们以  $q$  为球心，以  $r$  为半径作一球面  $S$  包围着点电荷  $q$ ，如图 1.2-3 所示，我们来计算穿过球面  $S$  的电通量。由于

$$\vec{E} = \frac{qr}{4\pi\epsilon_0 r^3}$$

故穿过球面  $S$  的电通量为

$$N = \oint_S \vec{E} \cdot d\vec{S} = \oint_S \frac{qr}{4\pi\epsilon_0 r^3} \cdot d\vec{S}$$

式中  $\vec{r}$  为矢径，其方向垂直球面，因而  $\vec{r}$  和  $d\vec{S}$  平行，故得

$$\begin{aligned} N &= \oint_S \frac{qr dS}{4\pi\epsilon_0 r^3} = \oint_S \frac{qdS}{4\pi\epsilon_0 r^2} = \frac{q}{4\pi\epsilon_0 r^2} \oint_S dS \\ &= \frac{q}{4\pi\epsilon_0 r^2} \cdot 4\pi r^2 = \frac{q}{\epsilon_0} \end{aligned}$$

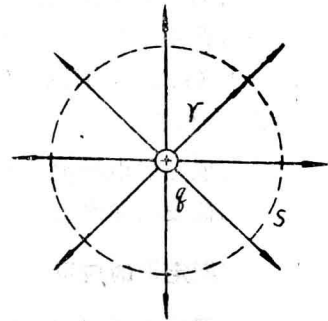


图 1.2-3 点电荷电通量的计算

这就是说，在点电荷的电场中以点电荷为球心，取一包围点电荷的球面  $S$ ，则穿过该面积的电力线数目等于其所包围的电量的  $1/\epsilon_0$  倍，即

$$\oint_S \vec{E} \cdot d\vec{S} = q/\epsilon_0 \quad (1.2-3)$$

由于球面半径  $r$  是任意取的，取大取小都不影响这一结论，因此点电荷  $q$  发出的电力线总共是  $q/\epsilon_0$  根，在空间没有电荷的区域内既不增加也不减少，只不过其密度发生变化罢了。这个特例，我们可以把它推广到任意分布电荷的电场和任意封闭面的情况中。为此我们来考虑如下问题：

- (1) 对于图 1.2-3，如果球心不在  $q$  上，但球面还是包围着  $q$ ，结果如何？
- (2) 对于图 1.2-3，如果封闭面不是球面，但还包围着  $q$ ，结果如何？
- (3) 对于图 1.2-3，如果封闭面不包围着  $q$ ，结果如何？
- (4) 如果空间有许多电荷分布，结果如何？

回答前两个问题是直接的，因为点电荷激发的电场不随我们选取封闭面  $S$  而变，故从点电荷发出的电力线数目也是不随我们选取  $S$  面而变的，因此只要封闭面  $S$  包围着点电荷  $q$ ，不管  $S$  面的形状如何，穿过  $S$  面的电通量总是  $q/\epsilon_0$ 。如果封闭面  $S$  不包围着点电荷  $q$ ，则由于在没有电荷的区域中电力线不会增加或减少，因此进入封闭面的电力线等于穿出封闭面的电力线。进入封闭面的电通量为负，穿出封闭面的电通量为正，因而穿过封闭面的总电通量为零。即当封闭面  $S$  不包围着点电荷  $q$  时，

$$\oint_S \vec{E} \cdot d\vec{S} = 0 \quad (1.2-4)$$

对于第四个问题，我们可应用电场中的迭加定律，把分布电荷看成许多点电荷，由于每个点电荷都满足(1.2-3)或(1.2-4)式，于是它们对分布电荷也成立。

综合以上讨论，我们得出真空中的高斯定理是：“在电场中任取一个封闭面S，穿过此封闭面的电通量，等于它所包围着的电荷的 $1/\epsilon_0$ 倍”即

$$\oint_S \vec{E} \cdot d\vec{S} = Q/\epsilon_0 \quad (1.2-5)$$

式中电荷Q是S面包围着的电荷的代数和，S面未包围着的电荷不计在内。例如在图1.2-4中S面只包围着 $q_1, q_2, q_3$ ，而 $q_4, q_5$ 未包围在内，故应用(1.2-5)式时， $Q = q_1 + q_2 + q_3$ ，而不计算 $q_4$ 和 $q_5$ 。

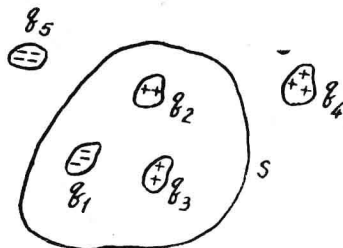


图 1.2-4 高斯定理

高斯定理是静电场中一个重要定理，它说明了静电场是个有源场，电荷是电场之源。电力线从正电荷发出而终止于负电荷，每单位正电荷发出 $1/\epsilon_0$ 根电力线。

#### 四、高斯定理的应用

高斯定理除了说明静电场是个有源场这个基本性质外，对于某些高度对称的电场，还可以应用它来计算电场强度。下面我们讨论如何应用高斯定理计算电场强度。

电场呈现出高度对称应该是什么样子呢？要解决这个问题，必须从(1.2-5)式去寻找。我们知道，要想从 $\oint_S \vec{E} \cdot d\vec{S} = Q/\epsilon_0$ 中计算出电场强度E来，这只有在极端特殊情况下才有可能：

(1) 在S面上 $\vec{E}$ 必须处处与 $d\vec{S}$ 方向一致；或 $\vec{E}$ 在S面的一部分 $S'$ 上与 $d\vec{S}$ 方向一致，而在另一部分 $S''$ 上与 $d\vec{S}$ 方向相垂直或等于零，于是

$$\oint_S \vec{E} \cdot d\vec{S} = \int_{S'} \vec{E} \cdot d\vec{S} + \int_{S''} \vec{E} \cdot d\vec{S} = \int_{S'} E dS$$

其中 $S''$ 上 $\vec{E}$ 和 $d\vec{S}$ 相垂直或 $\vec{E} = 0$ ，则 $\vec{E} \cdot d\vec{S} = 0$ ，因而通量为零。

(2) 在 $S'$ 面上 $\vec{E}$ 的数值必须处处相等，于是

$$\int_{S'} E dS = E \int_{S'} dS = E \cdot S' = Q/\epsilon_0$$

从而得出

$$E = \frac{Q}{\epsilon_0 S'} \quad (1.2-6)$$

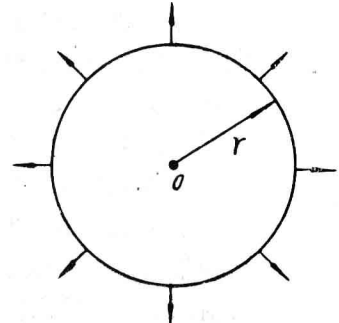


图 1.2-5 球面对称的电场

下面我们就几种高度对称的电场来说明如何选封闭面？如何求电场强度？

##### (1) 球面对称的电场

在球面对称的电场中，以对称原点为球心的任何球面上，各点电场强度的大小相等，方向与球面垂直，如图1.2-5所示。激发这样电场的电荷分布也必须是球面对称的，例如点电荷、在球面上均匀分布的面电荷以及球体内均匀分布的体电荷等的电场，都是球面对称的电场。